

# Digitalni sustavi upravljanja 2022./2023.

Akademik Ivan Petrović

Prof. dr. sc. Marija Seder

Zavod za automatiku i računalno inženjerstvo

Fakultet elektrotehnike i računarstva

Predavanje 10 – Analitički postupci sinteze

## **Sadržaj poglavlja:**

**10.1. Uvod u sintezu analitičkim postupcima**

**10.2. Postupak sinteze prema Truxal-Guilleminu** (John G. Truxal  
and Ernst Adolf Guillemin)

**10.3. Postupak sinteze prema Ragazziniju**  
(John R. Ragazzini)

## 10.1. Uvod u sintezu analitičkim postupcima

- Metode sinteze na temelju frekvencijskih karakteristika spadaju u posredne postupke sinteze.
  - Polazište pri sintezi je otvoreni regulacijski krug opisan frekvencijskom karakteristikom ili prijenosnom funkcijom.
  - Željeno vladanje zatvorenog regulacijskog kruga postiže se dodavanjem različitih kompenzacijskih (korekcijskih) članova koji modificiraju frekvencijsku karakteristiku otvorenog regulacijskog kruga, a time posredno i frekvencijsku karakteristiku zatvorenog regulacijskog kruga.
  - Posredni postupci sinteze obavljaju se u pravilu u više koraka; pri tome je posebno važno iskustvo i vještina projektanta.
- **Analitički postupci sinteze spadaju u neposredne postupke sinteze, jer je polazište pri sintezi zatvoreni regulacijski krug opisan željenom prijenosnom funkcijom:**

$$\boxed{G_r(s) \stackrel{!}{=} G_m(s)}, \quad \text{- u kontinuiranom području} \quad (10-1)$$

$$\boxed{G_r(z) \stackrel{!}{=} G_m(z)} \quad \text{- u diskretnom području}$$

gdje je  $G_m(s)$ ,  $G_m(z)$  - željena (modelska) prijenosna funkcija zatvorenog sustava (referentni model).

- $G_m(\cdot)$  proizlazi iz specifikacije kakvoće koja se obično zasniva na odgovarajućoj prijelaznoj funkciji  $h_r(t)$ .
- Za niz prikladnih prijelaznih funkcija  $h_r(t)$  načinjene su tablice pripadajućih prijenosnih funkcija  $G_m(\cdot)$ , s točno definiranim rasporedom polova i nula.
- Ovakav neposredni postupak sinteze nije primjenljiv na procese s mrtvim vremenom.
- Uz poznato vladanje procesa i uz odabrani  $G_m(\cdot)$  može se tada neposredno projektirati odgovarajući regulator.

## Standardni oblici modelskih prijenosnih funkcija $G_m(s)$ i $G_m(z)$ :

- Neka je željena prijenosna funkcija zatvorenog sustava s obzirom na referentnu vrijednost dana izrazom:

$$G_m(s) = \frac{\alpha(s)}{\beta(s)} = \frac{\alpha_0 + \alpha_1 s + \dots + \alpha_v s^v}{\beta_0 + \beta_1 s + \dots + \beta_u s^u}, \quad u > v. \quad (10-2)$$

- Rasporedom polova i nula u (10-2), što se postiže odgovarajućim izborom parametara  $\alpha_i$  i  $\beta_i$ , dobije se željena prijelazna funkcija  $h_x(t)$ .
- Čest je slučaj da je polinom u brojniku (10-2) nultog reda (nema nula) te da je

$$G_m(0) \stackrel{!}{=} 1.$$

- Tada je  $\alpha_0 = \beta_0$  pa slijedi:

$$G_m(s) = \frac{\alpha(s)}{\beta(s)} = \frac{\beta_0}{\beta_0 + \beta_1 s + \dots + \beta_u s^u}. \quad (10-3)$$

- Za razne željene prijelazne funkcije  $h_r(t)$  postoje tzv. **standardni (prototipni) oblici** prijenosne funkcije  $G_m(s)$  (prema (10-3)) za koje su određeni parametri  $\beta_i$  (dani u tabličnom obliku, a određuju raspored polova).
- U nastavku je prikazano nekoliko često korištenih standardnih oblika:

#### a) Binomni oblik

$$G_m(s) = \frac{\omega_n^u}{(s + \omega_n)^u} = \frac{\alpha(s)}{\beta(s)}, \quad (10-4)$$

- Ovaj oblik odgovara serijskoj vezi  $u$   $PT_1$  - članova s istom vremenskom konstantom

$$T_m = \frac{1}{\omega_n}.$$

- Standardni polinomi  $\beta(s)$  za različite redove glase:

$$s + \omega_n$$

$$s^2 + 2\omega_n s + \omega_n^2$$

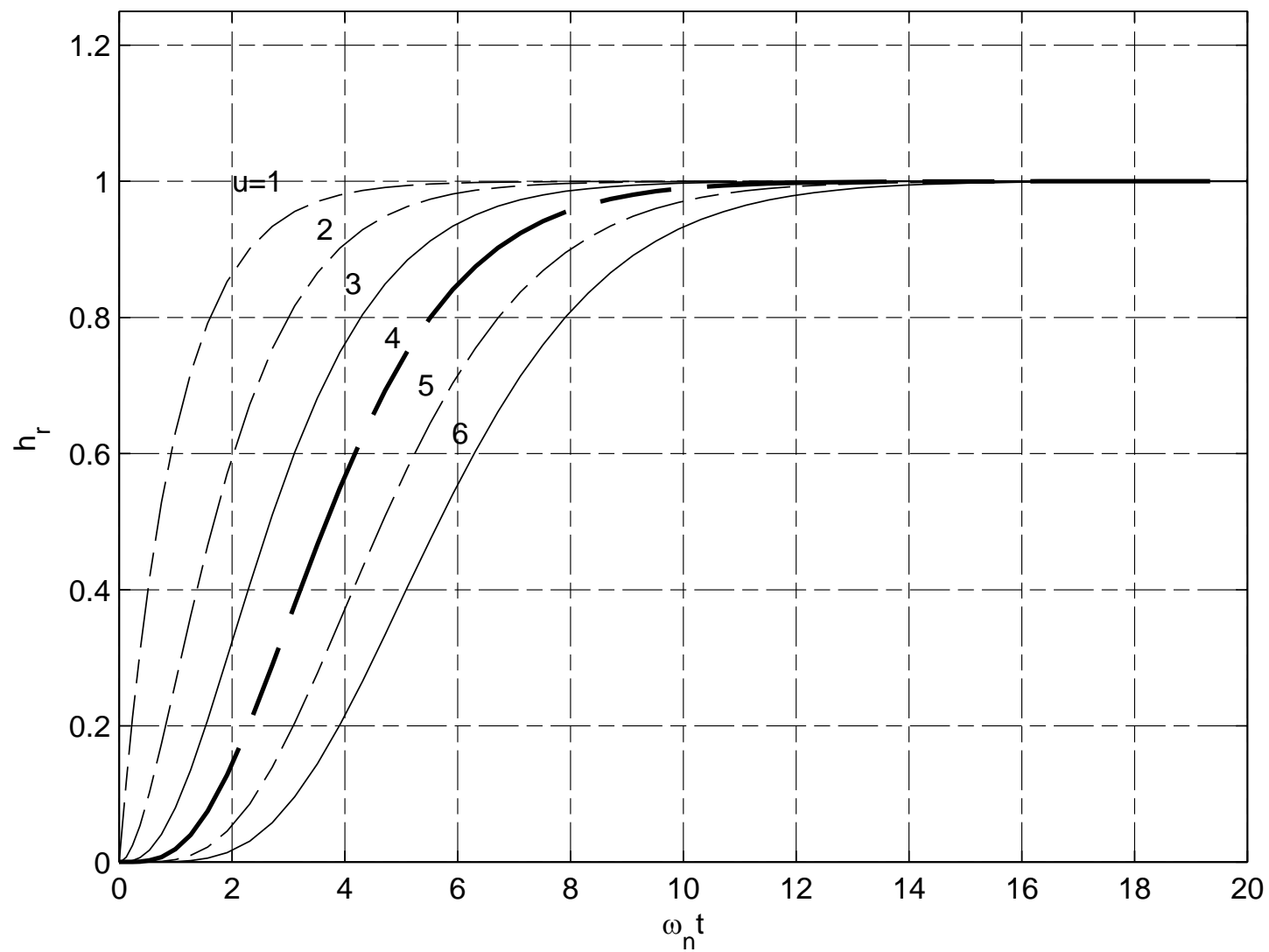
$$s^3 + 3\omega_n s^2 + 3\omega_n^2 s + \omega_n^3$$

$$s^4 + 4\omega_n s^3 + 6\omega_n^2 s^2 + 4\omega_n^3 s + \omega_n^4$$

$$s^5 + 5\omega_n s^4 + 10\omega_n^2 s^3 + 10\omega_n^3 s^2 + 5\omega_n^4 s + \omega_n^5$$

$$s^6 + 6\omega_n s^5 + 15\omega_n^2 s^4 + 20\omega_n^3 s^3 + 15\omega_n^4 s^2 + 6\omega_n^5 s + \omega_n^6$$

- Njima pridružene  $\boxed{h_r(\omega_n t)}$  prikazane su na slici 10.1.
- Vidimo da  $h_r(t)$  nema regulacijskog nadvišenja. Porastom reda  $u$   $h_r(\omega_n t)$  poprima sporiji odziv.



Sl. 10.1. Prijelazne funkcije za binomne modelske oblike.



## b) Butterworthov oblik

- Standardni polinomi  $\beta(s)$  za različite redove glase:

$$s + \omega_n$$

$$s^2 + 1.4\omega_n s + \omega_n^2$$

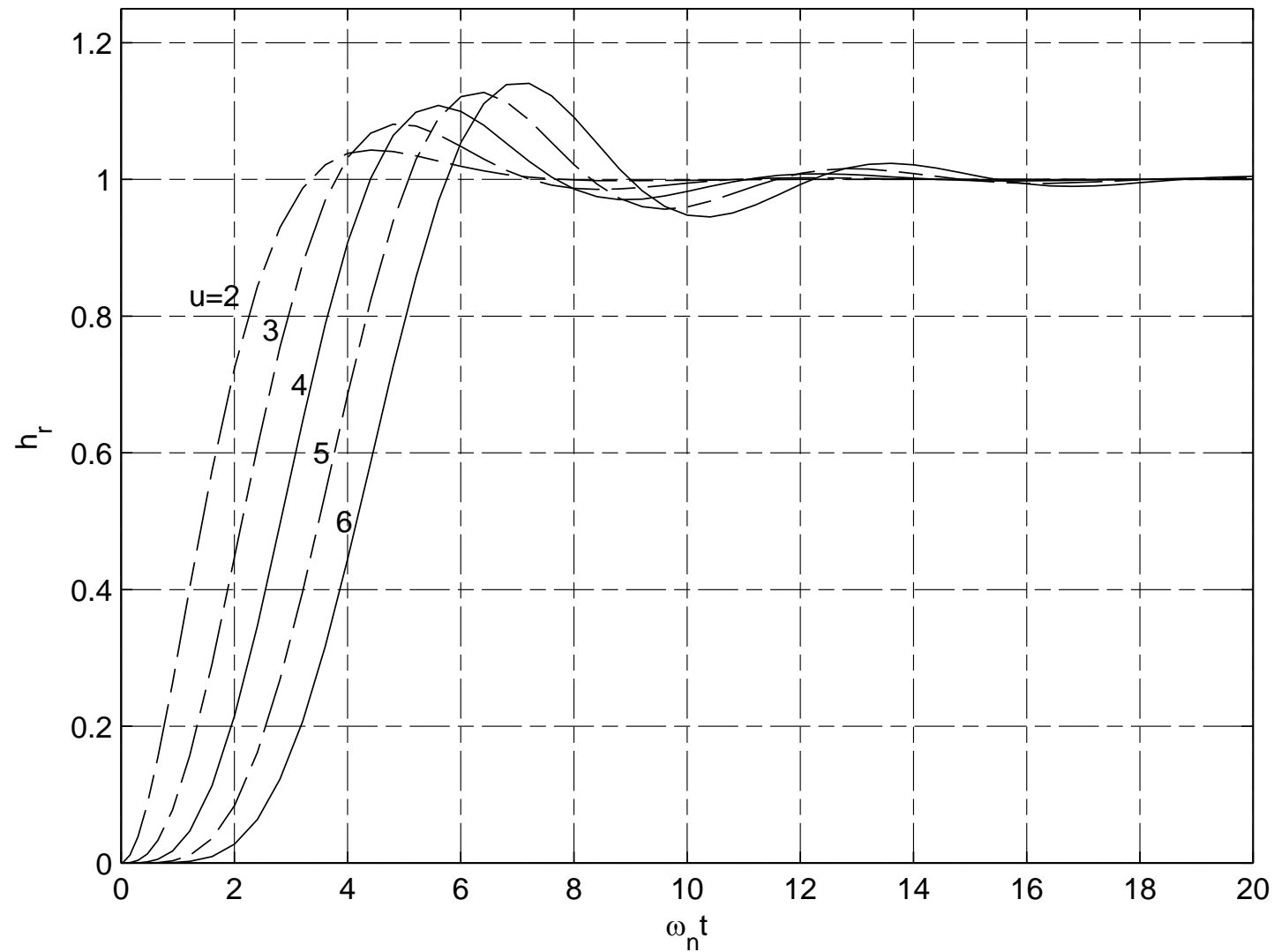
$$s^3 + 2.0\omega_n s^2 + 2.0\omega_n^2 s + \omega_n^3$$

$$s^4 + 2.6\omega_n s^3 + 3.4\omega_n^2 s^2 + 2.6\omega_n^3 s + \omega_n^4$$

$$s^5 + 3.24\omega_n s^4 + 5.24\omega_n^2 s^3 + 5.24\omega_n^3 s^2 + 3.24\omega_n^4 s + \omega_n^5$$

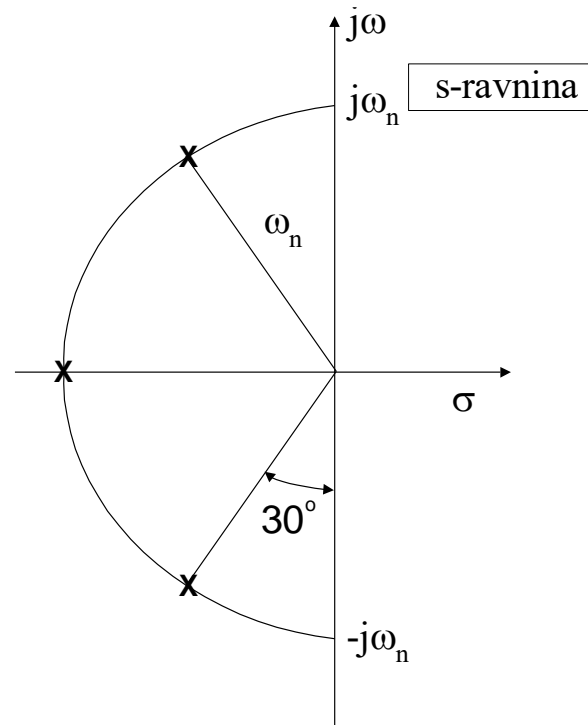
$$s^6 + 3.86\omega_n s^5 + 7.46\omega_n^2 s^4 + 9.14\omega_n^3 s^3 + 7.46\omega_n^4 s^2 + 3.86\omega_n^5 s + \omega_n^6$$

- Njima pridružene  $\boxed{h_r(\omega_n t)}$  prikazane su na slici 10.2.
- Vidimo da  $h_r(t)$  ima regulacijsko nadvišenje, ali je brži odziv nego kod binomnih oblika.



Sl. 10.2. Prijelazne funkcije za Butterworthove modelske oblike.

- Polovi prijenosne funkcije (10-3) ravnomjerno su razmješteni u lijevoj poluravnini s-ravnine na kružnici s radijusom  $\omega_n$ .
- Uočava se zakonitost među koeficijentima. Regulacijsko nadvišenje raste s redom polinoma. Sustav postaje sporiji s povećanjem reda.
- Npr. za 3. red standardnog polinoma u Butterworthovom obliku dobije se:



Sl. 10.3.

### c) Standardni oblici zasnovani na integralnim kriterijima

- Standardni polinomi prijenosne funkcije (10-3) mogu proizaći i iz integralnih kriterija. Primjerice, za  $I_4$  integralni kriterij:

$$\int_0^{\infty} |e(t)| \cdot t \cdot dt, \quad (10-5)$$

standardni polinomi  $\beta(s)$  za različite redove glase:

$$s + \omega_n$$

$$s^2 + 1.505 \omega_n s + \omega_n^2$$

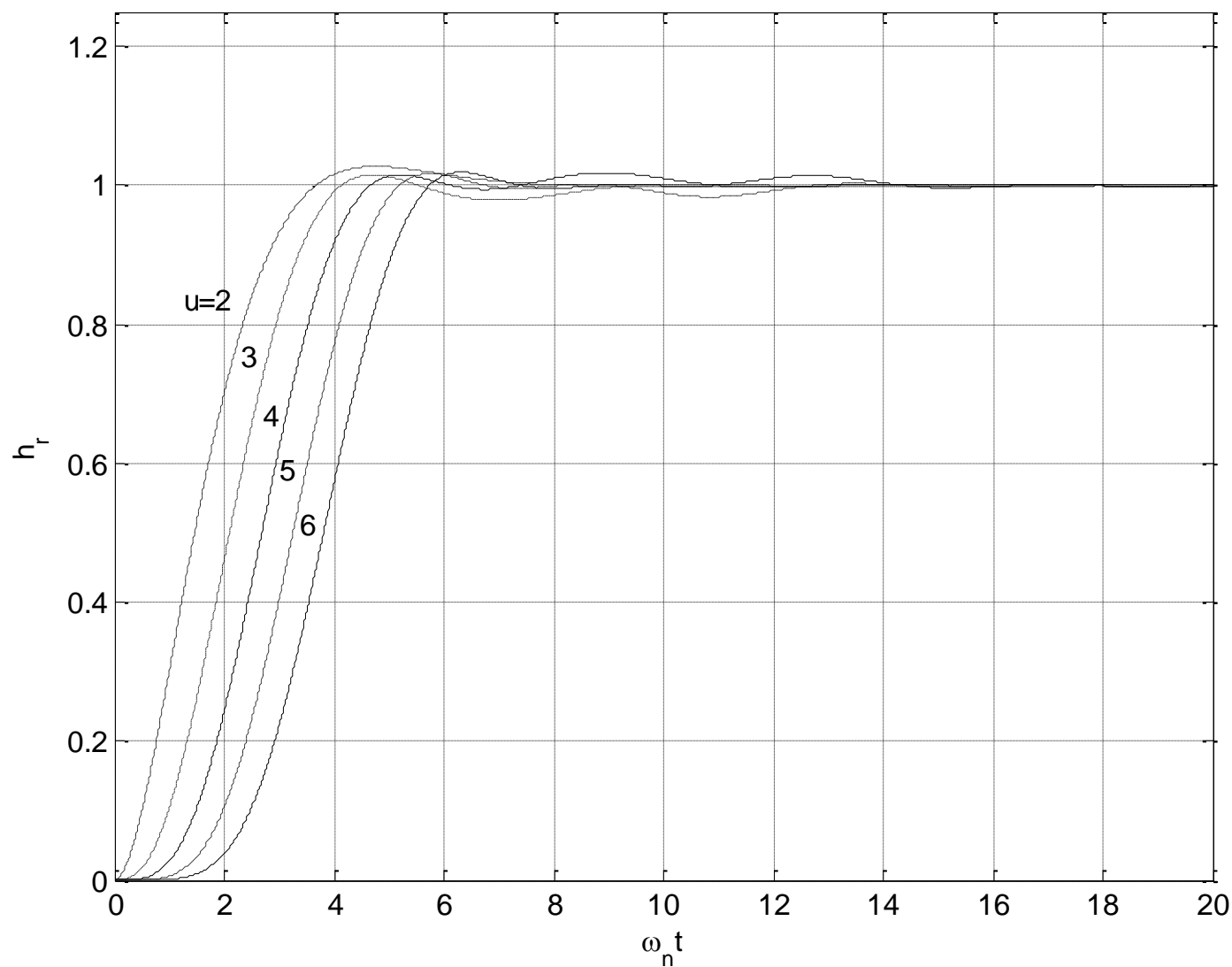
$$s^3 + 1.783 \omega_n s^2 + 2.172 \omega_n^2 s + \omega_n^3$$

$$s^4 + 1.953 \omega_n s^3 + 3.347 \omega_n^2 s^2 + 2.648 \omega_n^3 s + \omega_n^4$$

$$s^5 + 2.068 \omega_n s^4 + 4.499 \omega_n^2 s^3 + 4.675 \omega_n^3 s^2 + 3.257 \omega_n^4 s + \omega_n^5$$

$$s^6 + 2.152 \omega_n s^5 + 5.629 \omega_n^2 s^4 + 6.934 \omega_n^3 s^3 + 6.792 \omega_n^4 s^2 + 3.740 \omega_n^5 s + \omega_n^6$$

- Njima pridružene  $h_r(\omega_n t)$  prikazane su na slici 10.4.



Sl. 10.4. Prijelazne funkcije za modelske oblike prema kriteriju (10-5)

- Standardni oblik, koji se zasniva na integralnom kriteriju, kojim se **minimizira vrijeme ustaljivanja  $t_\varepsilon$**  također se često koristi.
- Primjerice, standardni polinomi za minimalno vrijeme smirivanja uz vrijednost  $t_{5\%}$  glase:

$$s + \omega_n$$

$$s^2 + 1.4\omega_n s + \omega_n^2$$

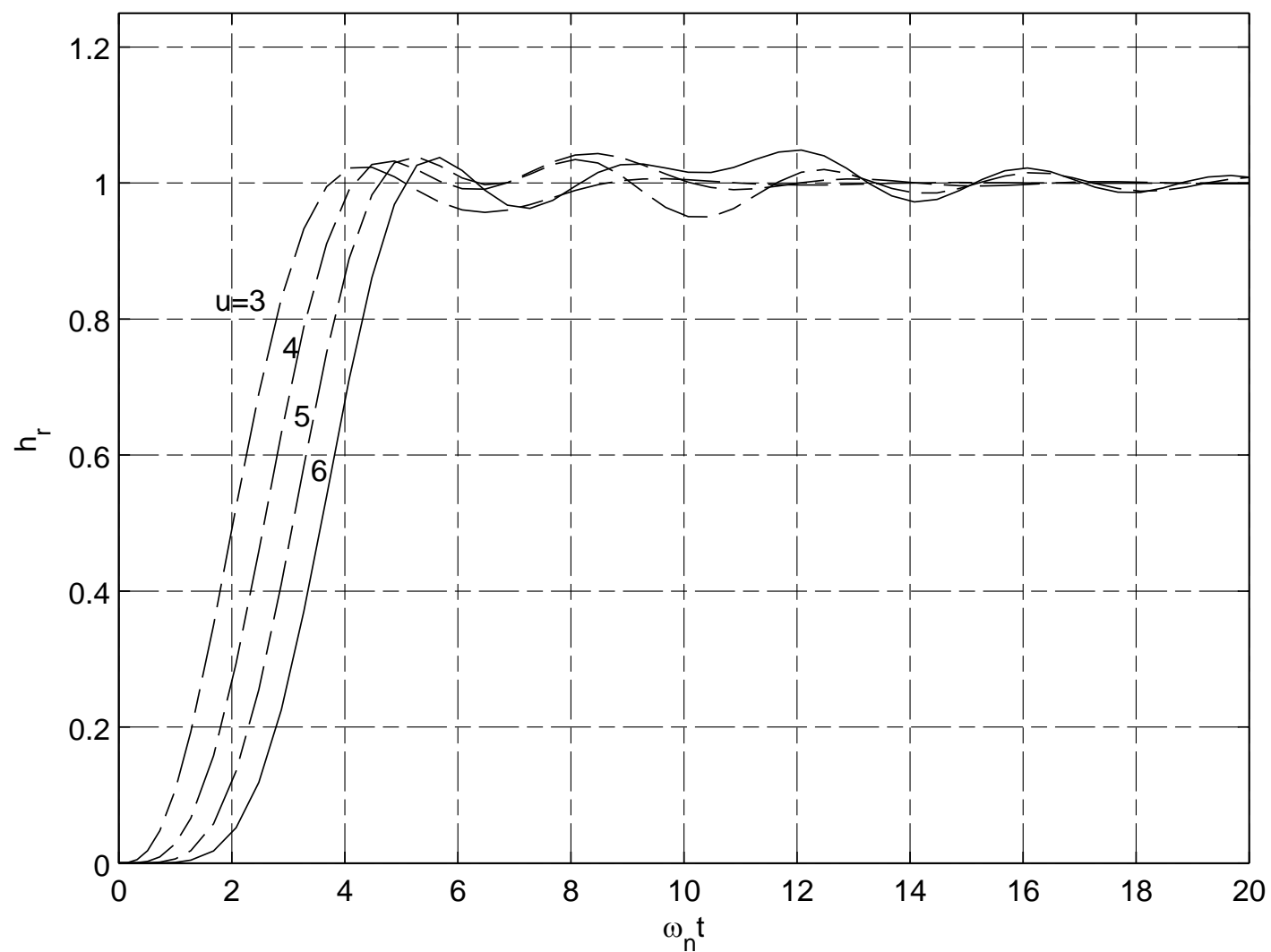
$$s^3 + 1.55\omega_n s^2 + 2.10\omega_n^2 s + \omega_n^3$$

$$s^4 + 1.60\omega_n s^3 + 3.15\omega_n^2 s^2 + 2.45\omega_n^3 s + \omega_n^4$$

$$s^5 + 1.575\omega_n s^4 + 4.05\omega_n^2 s^3 + 4.10\omega_n^3 s^2 + 3.025\omega_n^4 s + \omega_n^5$$

$$s^6 + 1.45\omega_n s^5 + 5.10\omega_n^2 s^4 + 5.30\omega_n^3 s^3 + 6.25\omega_n^4 s^2 + 3.425\omega_n^5 s + \omega_n^6$$

- Njima pridružene  $\boxed{h_r(\omega_n t)}$  prikazane su na slici 10.5.



Sl. 10.5. Prijelazne funkcije za modelske oblike za minimalno  $t_\varepsilon$

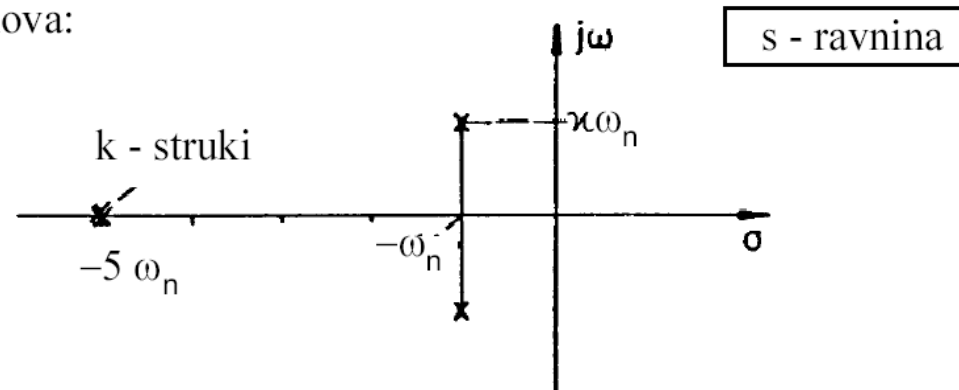
#### d) Weberov oblik

- Željena prijenosna funkcija zatvorenog sustava prema Weberu glasi:

$$G_m(s) = \frac{5^k \cdot (1 + \kappa^2) \cdot \omega_n^{k+2}}{(s + \omega_n + j\kappa\omega_n) \cdot (s + \omega_n - j\kappa\omega_n) \cdot (s + 5\omega_n)^k} \quad (10-6)$$

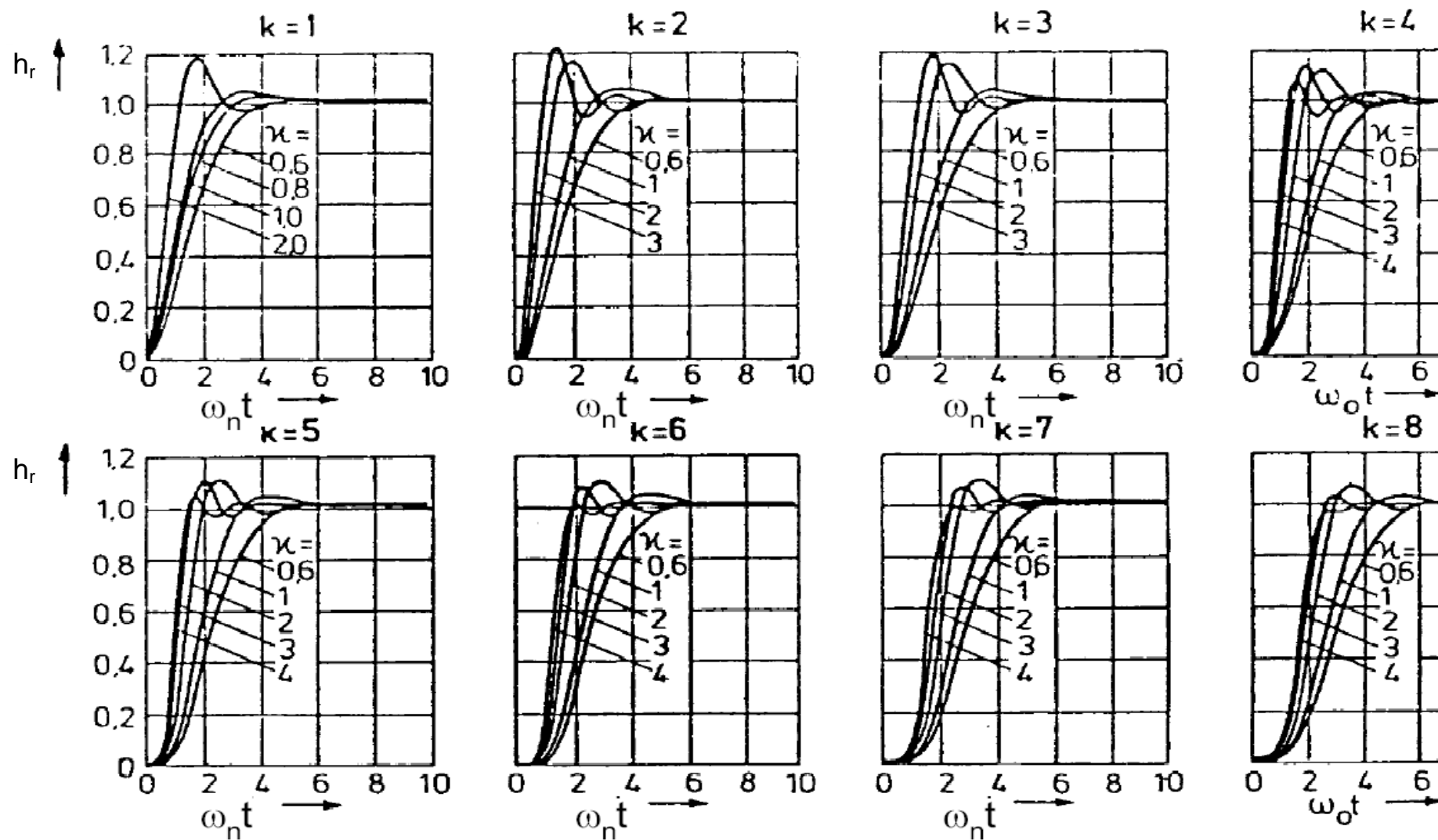
- Radi se o prijenosnoj funkciji koja ima jedan  $k$ -struki realni pol ( $k = u - 2$ ) i jedan kompleksni par polova.

razmještaj polova:



- Odabir  $\kappa$ ,  $k$  i  $\omega_n$  se radi s obzirom na konkretnu primjenu.
- Prijelazne funkcije  $h_r(\omega_n t)$  za različite vrijednosti  $k$  i  $\kappa$  dane su na slici 10.6.

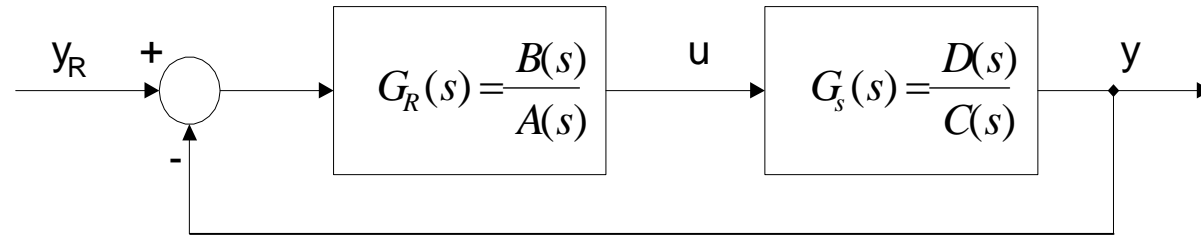




Sl. 10.6. Prijelazne funkcije za Weberove modelske oblike

## 10.2. Postupak sinteze prema Truxal-Guillemínu (TG postupak):

- Razmatra se regulacijski krug prikazan na slici 10.7. (DESNO)



- Proces  $G_s(s)$  opisan je racionalnom prijenosnom funkcijom (10-7):

$$G_s(s) = \frac{D(s)}{C(s)} = \frac{d_0 + d_1s + \dots + d_ms^m}{c_0 + c_1s + \dots + c_ns^n}$$

- Pretpostavke:

- \* polinomi brojnika  $D(s)$  i nazivnika  $C(s)$  nemaju zajedničke korijene;
- \* proces je stabilan i posjeduje svojstva minimalne faze;
- \*  $m < n$ .

- Prijenosna funkcija regulatora kojega treba projektirati (10-8):

$$G_R(s) = \frac{B(s)}{A(s)} = \frac{b_0 + b_1s + \dots + b_ws^w}{a_0 + a_1s + \dots + a_zs^z}$$

- Pri tome mora biti ispunjen uvjet realizacije ( $w \leq z$ ).
- $G_m(s)$  može, uz uvjet realizacije regulatora, imati proizvoljan oblik.

- Regulator treba tako projektirati da prijenosna funkcija zatvorenog sustava odgovara modelskoj prijenosnoj funkciji  $G_m(s)$ :

$$G_r(s) \stackrel{!}{=} G_m(s) = \frac{\alpha(s)}{\beta(s)} = \frac{\alpha_0 + \alpha_1 s + \dots + \alpha_v s^v}{\beta_0 + \beta_1 s + \dots + \beta_u s^u}, \quad u > v. \quad (10-9)$$

- Iz prijenosne funkcije s obzirom na referentnu vrijednost

$$G_r(s) = \frac{G_R(s)G_s(s)}{1 + G_R(s)G_s(s)} \stackrel{!}{=} G_m(s) \quad (10-10)$$

slijedi prijenosna funkcija regulatora:

$$G_R(s) = \frac{1}{G_s(s)} \frac{G_m(s)}{1 - G_m(s)}. \quad (10-11)$$

- Nakon uvrštenja polinoma  $\alpha(s)$  i  $\beta(s)$  za  $G_m(s)$  dobije se:

$$G_R(s) = \frac{B(s)}{A(s)} = \frac{C(s)\alpha(s)}{D(s)[\beta(s) - \alpha(s)]}. \quad (10-12)$$

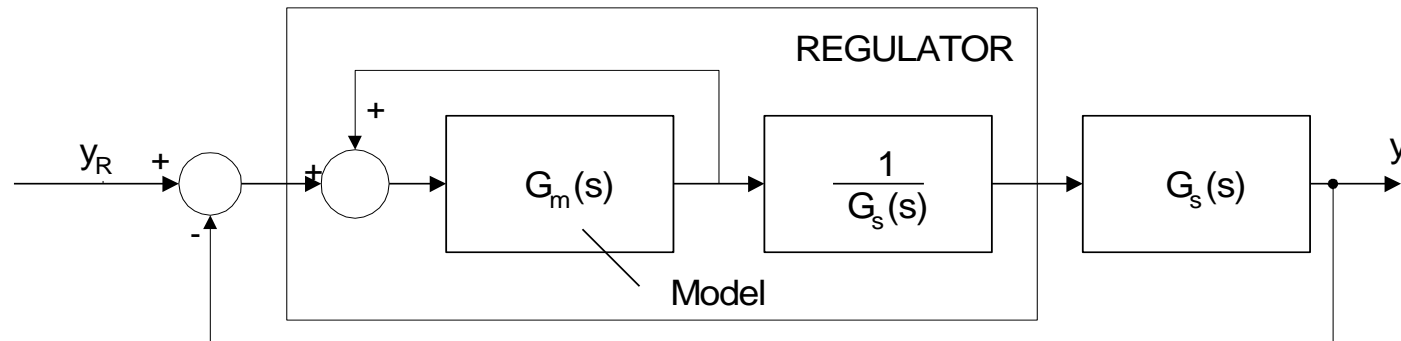
- U izrazu (10-12) mora biti ispunjeno **(uvjet realizacije regulatora)**:

Stupanj  $B(s) = w = n + v \leq$  Stupanj  $A(s) = z = u + m$ , odakle slijedi:

$$u - v \geq n - m.$$

- Prema tome, “**polni višak**” (pole excess (engl.), Polüberschuß (njem.)) (**u-v**) željene prijenosne funkcije  $G_m(s)$  mora biti veći (ili jednak) “polnom višku” (**n-m**) prijenosne funkcije procesa  $G_s(s)$ .

- U prijenosnoj funkciji regulatora  $G_R(s)$  pojavljuje se  $G_s(s)^{-1}$ .
- Dakle, regulatorom bi se moglo **potpuno kompenzirati dinamičko vladanje** procesa.
- Stoga se regulator koji ima strukturu kao (10-11) naziva **kompensacijskim regulatorom**.
- Regulacijski krug koji ima regulator prema (10-11) može se prikazati kao na slici 10.8.



Sl. 10.8.

- Potrebno je imati u vidu uvjet realizacije.

- Opisanim TG postupkom određen je kontinuirani regulator, koji je optimalne strukture i optimalnih parametara s obzirom na zadanu prijenosnu funkciju procesa i željenu (modelsku) prijenosnu funkciju zatvorenog regulacijskog kruga.
- Međutim, konačni je cilj sinteze određivanje prijenosne funkcije  $G_R(z)$  (odnosno rekurzivne jednadžbe) digitalnog regulatora.
- Kako je već opisano u 3. poglavlju prijenosna funkcija digitalnog regulatora  $G_R(z)$  može se dobiti:
  - **emulacijom prijenosne funkcije**  $G_R(s)$ , pri čemu se utjecaj procesa uzorkovanja može zanemariti (metoda EMUL1) ili uzeti u obzir (metoda EMUL2).
  - neposrednom sintezom u diskretnom području (metoda 3).

### **TG postupak sinteze digitalnog regulatora EMUL1 metodom:**

- Nakon što je određena prijenosna funkcija kontinuiranog regulatora  $G_R(s)$ , prema izrazu (10-11) ili (10-12),  $G_R(z)$  se određuje kroz dva dodatna koraka:
  - **1. korak - izbor vremena uzorkovanja  $T$ :** prema  $\omega_b$  modelske prijenosne  $G_m(s)$  ili prema vremenu porasta  $t_r$  pripadne prijelazne funkcije.
  - **2. korak - diskretizacija regulatora:** Dobiveni kontinuirani regulator  $G_R(s)$  jednostavno se diskretizira nekim od postupaka diskretizacije digitalnih filtara, npr. Tustinovim postupkom:

$$G_R(z) = G_R(s) \Big|_{s = \frac{2}{T_s} \frac{z-1}{z+1}}$$

### TG postupak sinteze digitalnog regulatora EMUL2 metodom:

- Postupak je identičan prethodnom koraku, ali je ZOH aproksimiran nadomjesnom prijenosnom funkcijom u s-području:

$$G_{ZOH}(s) = \frac{1}{1 + \frac{T}{2}s}$$

i dobivena je nadomjesna prijenosna funkcija procesa:

$$G'_s(s) = G_{ZOH}(s)G_s(s)$$

- Dodavanjem  $G_{ZOH}(s)$  u prijenosnu funkciju procesa povećan je „polni višak“ procesa za jedan ( **$n-m+1$** ), pa je i minimalni „polni višak“ modelske funkcije za jedan veći nego kod EMUL1 metode ( **$u-v+1$** ).
- Dakle, postupak sinteze je sljedeći:
  - **1. korak** – izabrati  $G_m(s)$  prema  $G'_s(s)$ , tj. s „polnim viškom“  $\geq$   **$n-m+1$**
  - **2. korak** – izabrati vrijeme uzorkovanja (kao kod EMUL1) i odrediti  $G_{ZOH}(s)$
  - **3. korak** – odrediti  $G'_s(s)$  te  $G_R(s)$  prema (10-11) ili (10-12)
  - **4. korak** – odrediti  $G_R(z)$  kao kod EMUL1 metode.



### Primjer 10.1:

- Neka je proces opisan prijenosnom funkcijom

$$G_s(s) = \frac{5}{s(s^2 + 1,4s + 1)} = \frac{D(s)}{C(s)},$$

- “Polni višak” procesa iznosi:  $n - m = 3 - 0 = 3$ .
- Prema (10-12) slijedi “polni višak” za  $G_m(s)$ :  $u - v \geq 3$ .
- Izbor parametara prijenosne funkcije  $G_m(s)$ , koji određuju položaje njenih polova i nula, nije potpuno proizvoljan.
- **Praktična ograničenja** koja se postavljaju na  $G_m(s)$ , a time i na regulator, odnose se na:

a) **maksimalno dopušteno područje promjene izvršne veličine  $u(t)$ ;**

b) **netočnosti parametara  $G_s(s)$  ili njihovo mijenjanje s vremenom;**

c) **šum u mjernom signalu koji se prenosi preko regulatora na proces.**

- Uvažavajući navedena ograničenja, za  $G_m(s)$  se može odabrati bilo koji standardni oblik.
- Ako se odabere standardni Butterworthov oblik 3. reda ( $u - v = 3$ )

$$G_{m3}(s) = \frac{\alpha(s)}{\beta(s)} = \frac{\omega_n^3}{s^3 + 2\omega_n s^2 + 2\omega_n^2 s + \omega_n^3}$$

dobije se regulator:

$$G_R(s) = \frac{B(s)}{A(s)} = \frac{C(s)\alpha(s)}{D(s)[\beta(s) - \alpha(s)]} = \frac{\omega_n^3}{5} \cdot \frac{s^2 + 1,4s + 1}{s^2 + 2\omega_n s + 2\omega_n^2}$$

- Linearni regulator drugog reda (aktivni filter drugog reda).
- Neka se, primjerice, zahtijeva ulazno vrijeme  $t_u = 2s$ .
  - Iz normirane prijelazne funkcije  $h_r(\omega_n t)$  za Butterworthov oblik 3. reda dobije se:

$$\omega_n t_u \approx 3,8, \quad \omega_n \approx \frac{3,8}{t_u} = \frac{3,8}{2} = 1,9s^{-1}.$$

- Prema tome, prijenosna funkcija **kontinuiranog regulatora** glasi:

$$G_R(s) = 1,37 \cdot \frac{s^2 + 1,4s + 1}{s^2 + 3,8s + 7,22}$$

## Određivanje digitalnog regulatora EMUL1 metodom:

1. korak – odabir vremena uzorkovanja:

$$T = \frac{t_u}{4 \div 12} \xrightarrow{npr.} T = \frac{t_u}{5} = \frac{2s}{5} = 0,4s$$

2. korak - diskretizacija regulatora; određivanje  $G_R(z)$  (**EMUL1 regulator**):

$$G_R(z) = G_R(s) \Big|_{s=\frac{2}{T} \frac{z-1}{z+1}} = 1,37 \cdot \frac{s^2 + 1,4s + 1}{s^2 + 3,8s + 7,22} \Big|_{s=5 \cdot \frac{z-1}{z+1}}$$

$$G_R(z) = \frac{0,88 - 1,29z^{-1} + 0,51z^{-2}}{1 - 0,69z^{-1} + 0,26z^{-2}}$$

## Određivanje digitalnog regulatora EMUL2 metodom:

1. korak – zbog  $G_{ZOH}(s)$  izabiremo  $G_m(s)$  Butterworthov oblik 4. reda ( $u-v+1=4$ )

$$G_{m4}(s) = \frac{\alpha(s)}{\beta(s)} = \frac{\omega_n^4}{s^4 + 2,6\omega_n s^3 + 3,4\omega_n^2 s^2 + 2,6\omega_n^3 s + \omega_n^4}$$

2. korak – odabir vremena uzorkovanja:

$$T = \frac{t_u}{4 \div 12} \xrightarrow{npr.} T = \frac{t_u}{5} = \frac{2s}{5} = 0,4s, \quad G_{ZOH}(s) = \frac{1}{1 + \frac{T}{2}s} = \frac{1}{1 + 0,2s}$$

3. korak – određivanje  $G'_s(s)$  i  $G_R(s)$ :

$$G'_s(s) = \frac{5}{s(1 + 1,4s + s^2)(1 + 0,2s)} = \frac{D(s)}{C'(s)}$$

$$G_R(s) = \frac{B(s)}{A(s)} = \frac{C'(s)\alpha(s)}{D(s)[\beta(s) - \alpha(s)]} = \frac{\omega_n^4}{5} \cdot \frac{(s^2 + 1,4s + 1)(1 + 0,2s)}{s^3 + 2,6\omega_n s^2 + 3,4\omega_n^2 s + 2,6\omega_n^3}$$

- Iz normirane prijelazne funkcije  $h_x(\omega_n t)$  za Butterworthov oblik 4. reda dobije se:

$$\omega_n t_u \approx 4,2, \quad \omega_n \approx \frac{4,2}{t_u} = \frac{4,2}{2} = 2,1s^{-1}.$$

- što uvršteno u prijenosnu funkciju  $G_R(s)$  daje:

$$G_R(s) = 3,89 \cdot \frac{(s^2 + 1,4s + 1)(1 + 0,2s)}{s^3 + 5,46s^2 + 14,99s + 24,08} =$$

$$= 0,78 \frac{(s^2 + 1,4s + 1)(s + 5)}{(s + 3,13)(s^2 + 2,33s + 7,59)}$$

4. korak – određivanje  $G_R(z)$  (**EMUL2 regulator**):

$$G_R(z) = G_R(s) \Big|_{s=\frac{2}{T} \frac{z-1}{z+1}} = 3,89 \cdot \frac{(s^2 + 1,4s + 1)(1 + 0,2s)}{s^3 + 5,46s^2 + 14,99s + 24,08} \Big|_{s=5 \cdot \frac{z-1}{z+1}}$$

$$G_R(z) = \frac{0,71 - 1,04z^{-1} + 0,41z^{-2}}{1 - 1,01z^{-1} + 0,65z^{-2} - 0,11z^{-3}} =$$

$$= 0,71 \frac{1 - 1,45z^{-1} + 0,58z^{-2}}{(1 - 0,23z^{-1})(1 - 0,78z^{-1} + 0,47z^{-2})}$$

### Primjer 10.2:

- Za statički proces opisan prijenosnom funkcijom:

$$G_s(s) = \frac{1}{(1+s)^2(1+5s)} = \frac{1}{1+7s+11s^2+5s^3} = \frac{D(s)}{C(s)}$$

treba projektirati regulator prema standardnom obliku  $G_m(s)$  proisteklom iz kriterija:

$$\int_0^{\infty} |e(t)| \cdot t \cdot dt$$

tako da se dobije  $t_{a,50} = 2s$ .

- Za  $G_s(s)$  “polni višak” je  **$n - m = 3$**  → za  $G_m(s)$  je “polni višak”  $u - v \geq 3$ .
- Za  $\int_0^{\infty} |e(t)| t dt$  i za  $u = 3$  i  $v = 0$  dobije se standardni polinom (slajd 13):

$$\beta(s) = s^3 + 1,75\omega_n s^2 + 2,15\omega_n^2 s + \omega_n^3.$$

- Iz normiranih prijelaznih funkcija  $h_r(\omega_n t)$  dobije se:

$$\omega_n t_{a,50} \approx 2,$$



$$\omega_n \approx \frac{2}{t_{a,50}} = \frac{2}{2} = 1s^{-1}.$$

- Slijedi:

$$\beta(s) = s^3 + 1,75s^2 + 2,15s + 1, \quad \alpha(s) = 1.$$

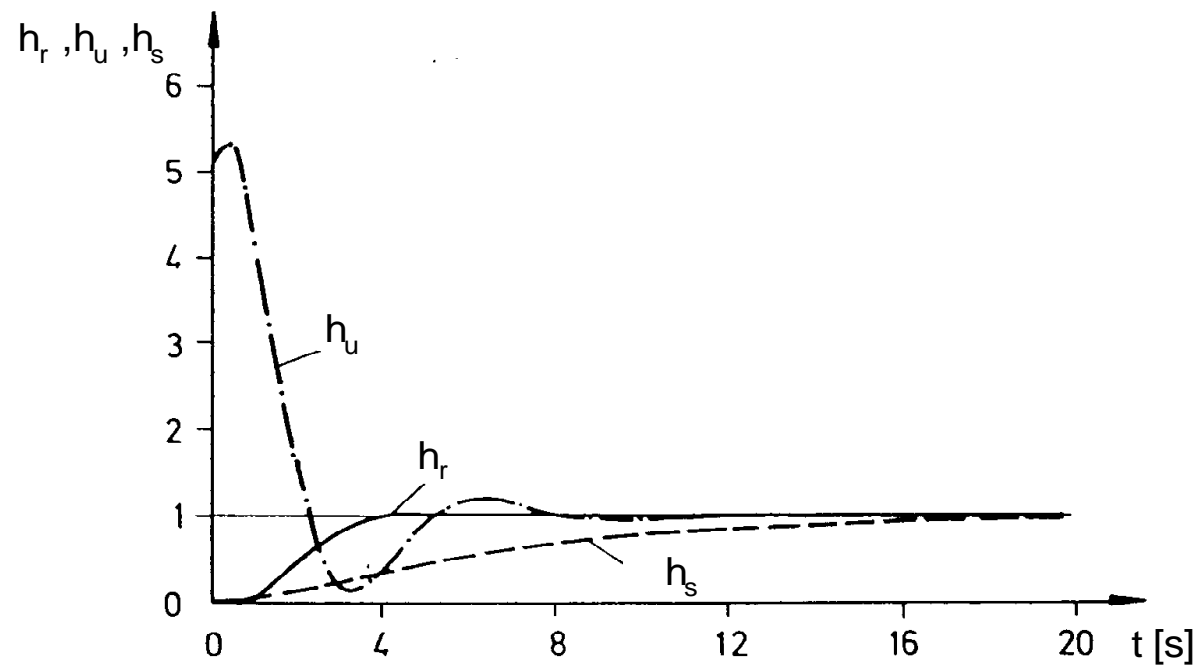
- Prema (10-12) dobije se:

$$G_R(s) = \frac{B(s)}{A(s)} = \frac{C(s)\alpha(s)}{D(s)[\beta(s) - \alpha(s)]} = \frac{1 + 7s + 11s^2 + 5s^3}{1 \cdot [1 + 2,15s + 1,75s^2 + s^3 - 1]},$$

$$G_R(s) = \frac{B(s)}{A(s)} = \frac{1 + 7s + 11s^2 + 5s^3}{s(2,15 + 1,75s + s^2)}.$$

- Prema tome, ovaj regulator posjeduje I- djelovanje.

- Vlanje sustava upravljanja s tako projektiranim regulatorom prikazano je na slici 10.11.
- **Digitalni regulator za primjer 10.2 može se projektirati nekim od opisanih postupaka (EMUL1, EMUL2), kao što je provedenu u primjeru 10.1.**
- **Nadalje se sva razmatranja provode u kontinuiranom području, a studentima se preporuča da za vježbu projektiraju odgovarajuće digitalne regulatore.**



Sl. 10.11. Prijelazne funkcije zatvorenog regulacijskog kruga iz pr. 10.2.

- $h_r$  - prijelazna funkcija zatvorenog regulacijskog kruga s obzirom na referentnu vrijednost;
- $h_u$  - prijelazna funkcija pripadajuće upravljačke veličine;
- $h_s$  - prijelazna funkcija nereguliranog procesa.

### Primjer 10.3.:

- Za proces kao u primjeru 10.1 (**astatičan proces**):

$$G_s(s) = \frac{5}{s(1 + 1,4s + s^2)}$$

neka je odabrana  $G_m(s)$  kao u primjeru 10.2.:

$$G_m(s) = \frac{1}{s^3 + 1,75s^2 + 2,15s + 1}$$

- Pomoću (10-12) ( $G_R(s) = \frac{B(s)}{A(s)} = \frac{C(s)\alpha(s)}{D(s)[\beta(s) - \alpha(s)]}$ ) dobije se:

$$G_R(s) = \frac{1 + 1,4s + s^2}{10,75 + 8,75s + 5s^2}$$

(Regulator bez I djelovanja)

- **Iz primjera 10.2. i 10.3 proizlazi da se može postići jednako vladanje zatvorenog sustava za sasvim različite procese.**

- Pretpostavlja se da su izvršne veličine  $u(t)$  u dopuštenom području vrijednosti.
- Na temelju dosadašnjih razmatranja proizlazi da je struktura regulatora određena strukturom procesa i modelskom prijenosnom funkcijom  $G_m(s)$ .
- **Parametri tako strukturiranog regulatora** proizlaze iz parametara procesa, parametara modelske prijenosne funkcije  $G_m(s)$  i postavljenih zahtjeva na sustav upravljanja.
- Dosadašnja razmatranja odnosila su se na procese koji su stabilni i imaju svojstva minimalne faze.
- Za procese koji ne ispunjavaju navedene pretpostavke opisani postupak sinteze uvjetno je primjenljiv.

- U tom slučaju regulatorom se ne smiju kompenzirati polovi i nule  $G_s(s)$  koje se nalaze u desnoj poluravnini s-ravnine jer bi i kod malih promjena položaja nula i polova (uslijed malih promjena parametara procesa) nastupili problemi stabilnosti. Stoga se ne može u ovim slučajevima proizvoljno odabrati  $G_m(s)$ .

- Korijeni karakteristične jednadžbe zatvorenog sustava upravljanja su korijeni jednadžbe

$$1 + G_s G_R = 0$$

$$1 + \frac{D}{C} \frac{B}{A} = 0$$

$$CA + DB = 0$$

- Neka se pol procesa (s-a) krati s nulom regulatora:

$$C(s) = (s - a)\bar{C}(s)$$

$$B(s) = (s - a)\bar{B}(s)$$

- Karakteristična jednadžba postaje

$$(s - a)\bar{C}(s)A(s) + D(s)(s - a)\bar{B}(s) = 0$$

$$(s - a)(A\bar{C} + D\bar{B}) = 0$$

- Zajednički faktor ostaje faktor karakteristične jednadžbe!

$$G_R = \frac{1}{G_s} \frac{G_m}{1 - G_m}$$

- Za procese s neminimalnim faznim vladanjem mora se  $G_m(s)$  tako odrediti da su nule od  $G_m(s)$  jednake nulama  $G_s(s)$  koje su smještene u desnoj poluravnini s-ravnine => izbor  $G_m(s)$  značajno je ograničen.

- Objašnjenje ovakvog odabira slijedi iz sljedeće prijenosne funkcije:

$$\frac{U}{R} = \frac{G_R}{1 + G_R G_s} = \frac{\frac{1}{G_s} \frac{G_m}{1 - G_m}}{\frac{1}{1 - G_m}} = \frac{G_m}{G_s}$$

- Kada ne bi bilo pokrate neminimalnofazne nule procesa između  $G_m$  i  $G_s$  tada bi odziv upravljačke veličine prema referenci bio nestabilan
- Za nestabilne procese mora prijenosna funkcija  $(1 - G_m(s))$  posjedovati nule koje su jednake polovima  $G_s(s)$  koji su smješteni u desnoj poluravnini s-ravnine.
- Objašnjenje ovakvog odabira slijedi iz sljedeće prijenosne funkcije:

$$\frac{Y}{Z} = \frac{G_s}{1 + G_R G_s} = G_s (1 - G_m)$$

- Kada ne bi bilo pokrate nestabilnog pola procesa između  $G_s$  i  $(1 - G_m)$  tada bi odziv izlazne veličine prema poremećaju na ulazu u procesu bio nestabilan
- **Primjena analitičkih postupaka sinteze za procese s neminimalnim faznim vladanjem i za nestabilne procese ilustrirana je primjerima 10.4. i 10.5.**



### Primjer 10.4.: Proces s neminimalno faznim vladanjem

- Za proces s neminimalno faznim vladanjem (svepropusni član prvog reda):

$$G_s(s) = \frac{1 - T_s s}{1 + T_s s}$$

treba projektirati regulator tako da zatvoreni regulacijski krug ima željenu prijenosnu funkciju:

a)

$$G_m(s) = \frac{1}{1 + T_1 s}$$

- Prema (10-12) ( $G_R(s) = \frac{C(s)\alpha(s)}{D(s)[\beta(s) - \alpha(s)]}$ ) dobije se:  $G_R(s) = \frac{1 + T_s s}{1 - T_s s} \frac{1}{T_1 s}$

- Ovaj bi regulator neposredno kompenzirao nulu procesa ( $s = 1/T_s$ ), što je, kako je navedeno, nepoželjno  $\Rightarrow$  **Odabrana  $G_m(s)$  nije prihvatljiva.**

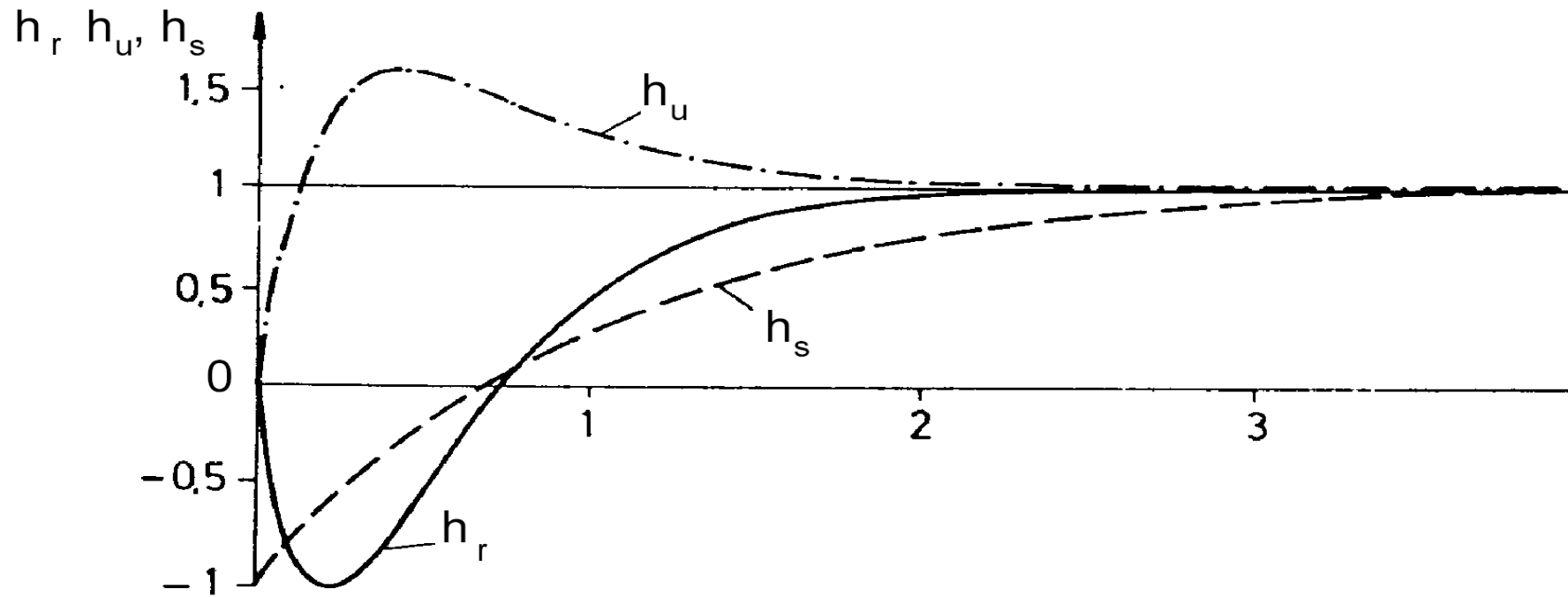
- Stoga se odabire  $G_m(s)$  na sljedeći način ( $G_m(s)$  ima svojstva neminimuma faze):

b) 
$$G_m(s) = \frac{1 - T_s s}{(1 + T_1 s)^2}.$$

- Prema (10-11)  $G_R(s) = \frac{1}{G_s(s)} \frac{G_m(s)}{1 - G_m(s)}$  dobije se:

$$G_R(s) = \frac{1 + T_s s}{s \left[ (2T_1 + T_s) + T_1^2 s \right]}.$$

- Vladanje sustava upravljanja, s procesom koji ima neminimalno fazna svojstva, prikazano je na slici 10.12.



Sl. 10.12. Prijelazne funkcije zatvorenog regulacijskog kruga iz pr. 10.4.

- $h_r$  - prijelazna funkcija zatvorenog regulacijskog kruga s obzirom na referentnu vrijednost;
- $h_u$  - prijelazna funkcija pripadajuće upravljačke veličine;
- $h_s$  - prijelazna funkcija nereguliranog procesa.

### Primjer 10.5.: Nestabilni proces

- Za nestabilni proces

$$G_s(s) = \frac{1}{1 - T_s s} = \frac{D(s)}{C(s)}$$

potrebno je projektirati regulator tako da:

$(1 - G_m(s))$  ima nulu u  $s = +\frac{1}{T_s}$  (to je vrijednost nestabilnog pola procesa):

$$1 - G_m(s) = 1 - \frac{\alpha(s)}{\beta(s)} = \frac{\beta(s) - \alpha(s)}{\beta(s)} = \frac{(1 - T_s s) P(s)}{\beta(s)}$$

- Iz uvjeta realizacije (10-12) mora biti:  $u - v \geq 1$  (jer je  $n - m = 1$ )
- Dakle, polinom  $P(s)$  treba tako odabrati da vrijedi:

$$\text{stupanj} [(1 - T_s s) \cdot P(s)] = \text{stupanj} [\beta(s) - \alpha(s)]. \quad (10-13)$$

- Za konkretni slučaj odaberimo da je **Stupanj  $\beta(s) = 2$**  i **Stupanj  $\alpha(s) = 1$** . *Napomena:* Za niže stupnjeve može se pokušati riješiti zadatak i vidjeti da se ne dobiva rješenje.

$$G_m(s) = \frac{\alpha_0 + \alpha_1 s}{\beta_0 + \beta_1 s + \beta_2 s^2}$$

- Dalje raspisujemo prijenosnu funkciju  $(1 - G_m(s))$  i izjednačavamo koeficijente uz potencije od  $s$  u polinomima u brojniku s lijeve i desne strane jednakosti. Nepoznati polinom  $P(s)$  pretpostavljamo da je prvog stupnja.

$$\frac{\beta(s) - \alpha(s)}{\beta(s)} = \frac{(1 - T_s s) P(s)}{\beta(s)}$$

$$\beta_0 + \beta_1 s + \beta_2 s^2 - \alpha_0 - \alpha_1 s = (1 - T_s s)(p_0 + p_1 s)$$

Budući da se traži da modelska nema pogrešku u stacionarnom stanju  $G_m(0) = 1 \rightarrow \alpha_0 = \beta_0$  te slijedi  $p_0 = 0$ .

- Dalje slijedi:

$$p_1 = \beta_1 - \alpha_1,$$

$$-T_s \cdot p_1 = \beta_2.$$

te eliminacijom  $p_1$   $\beta_2 = (\alpha_1 - \beta_1)T_s$ .

- Koeficijenti:  $\alpha_0$  i  $\alpha_1$  te  $\beta_0$ ,  $\beta_1$  i  $\beta_2$  načelno se određuju prema željenoj dinamici sustava. Neka je zadano  $\alpha_0 = \beta_0 = 1$ ,  $\beta_2 = 1$  i  $\alpha_1 = 1/T_s$ . Slijedi:

$$\beta_1 = \frac{1}{T_s},$$

pa se dobije:

$$G_m(s) = \frac{\alpha_0 + \alpha_1 s}{\beta_0 + \beta_1 s + \beta_2 s^2} = \frac{1 + \frac{2}{T_s} s}{1 + \frac{1}{T_s} s + s^2},$$

( $G_m(s)$  ne spada u prije razmatrane standardne oblike.)

odnosno:

$$1 - G_m(s) = \frac{(1 - T_s s)(-\frac{s}{T_s})}{1 + \frac{1}{T_s} s + s^2}.$$

- Prema (10-11) slijedi:

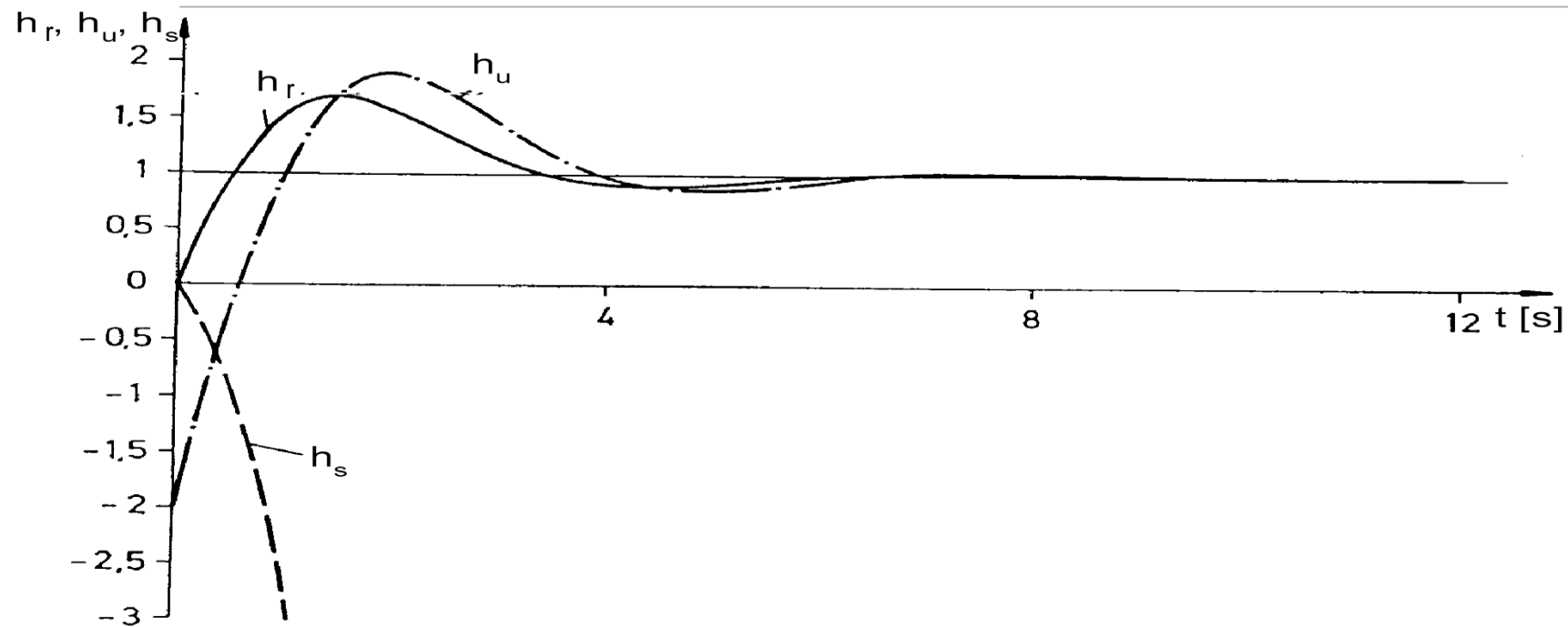
$$G_R(s) = \frac{1}{G_s(s)} \frac{G_m(s)}{1 - G_m(s)} = (1 - sT_s) \frac{\frac{1 + \frac{2}{T_s}s}{1 + \frac{1}{T_s}s + s^2}}{\frac{(1 - sT_s)\left(-\frac{s}{T_s}\right)}{1 + \frac{1}{T_s}s + s^2}},$$

odnosno:

$$G_R(s) = \frac{1 + \frac{2}{T_s}s}{-\frac{1}{T_s}s} = -2 \left( 1 + \frac{T_s}{2} \frac{1}{s} \right).$$

- Vladanje sustava upravljanja, s nestabilnim procesom, prikazano je na slici 10.13 (za  $T_s = 1\text{s}$ ):





Sl. 10.13. Prijelazne funkcije zatvorenog regulacijskog kruga iz pr. 10.5.

- $h_r$  - prijelazna funkcija zatvorenog regulacijskog kruga s obzirom na referentnu vrijednost;
- $h_u$  - prijelazna funkcija pripadajuće upravljačke veličine;
- $h_s$  - prijelazna funkcija nereguliranog procesa.

## 10.3. Postupak sinteze digitalnog regulatora prema Ragazziniju (metoda 3 – direktno u z-području)

- Koraci sinteze:
  - **1. korak** – izabrati vrijeme uzorkovanja kao kod EMUL1 i EMUL2 metoda
  - **2. korak** – diskretizirati prijenosnu funkciju procesa  $G_s(s)$  primjenom ZOH transformacije  $\rightarrow G_s(z)$
  - **3. korak** – na osnovi  $G_s(z)$  i karakteristične jednadžbe željenog zatvorenog kruga u kontinuiranom području odabrati modelsku prijenosnu funkciju  $G_m(z)$  kojoj je nazivnik diskretni ekvivalent kontinuirane karakteristične jednadžbe (transformacijom polova - pole placement), a brojnik uključuje sva ostala ograničenja od  $G_s(z)$  te ograničenje točnosti u stacionarnom stanju
  - **4. korak** – Odrediti prijenosnu funkciju digitalnog regulatora  $G_R(z)$ , kako slijedi:

$$G_r(z) = \frac{Y(z)}{X_R(z)} = \frac{G_R(z)G_s(z)}{1 + G_R(z)G_s(z)} \stackrel{!}{=} G_m(z),$$

$$G_R(z) = \frac{1}{G_s(z)} \frac{G_m(z)}{1 - G_m(z)},$$

- **Napomena:** Treba voditi računa o uvjetu realizacije regulatora, jer ZOH transformacija može unijeti neminimalno faznu nulu u prijenosnu funkciju  $G_s(z)$ , koja se ne smije pojaviti u  $G_R(z)$  kao pol !!!
- **Mora vrijediti kauzalnost:** Iz teorije z-transformacije prijenosna funkcija  $G_R(z)$  je kauzalna ako nema pol u beskonačnosti (odnosno stupanj brojnika je manji od stupnja nazivnika). Pol u beskonačnosti u  $G_R(z)$  će se pojaviti ako  $G_s(z)$  ima nulu u beskonačnosti, osim ako ne zahtjevamo da ga pokrati  $G_m(z)$ .
- **Ograničenje 1:**  $G_m(z)$  mora imati nulu u beskonačnosti istog reda kao proces  $G_s(z)$  – ovo je ekvivalentno polnom višku kod TG postupka

$$G_s(z) = \frac{D(z)}{C(z)} = \frac{z^{-k} (d_0 + \dots + d_m z^{-m})}{c_0 + \dots + c_n z^{-n}}$$

$$G_m(z) = \frac{B(z)}{A(z)} = \frac{z^{-k} (b_0 + \dots + b_m z^{-m})}{a_0 + \dots + a_n z^{-n}}$$

- **Ograničenje 2:**  $1-G_m(z)$  mora posjedovati nule koje su jednake polovima  $G_s(z)$  izvan jedinične kružnice
- **Ograničenje 3:**  $G_m(z)$  mora posjedovati nule koje su jednake nulama  $G_s(z)$  izvan jedinične kružnice
- **Ograničenje točnosti u stacionarnom stanju pri odzivu na step**

$$e_{\infty} = \lim_{z \rightarrow 1} (z-1) \frac{1}{z-1} [1 - G_m(z)] = 0 \Rightarrow G_m(1) = 1$$

- **Ograničenje točnosti u stacionarnom stanju – kinetička pogreška  $1/K_v$**

$$e_{\infty} = \lim_{z \rightarrow 1} (z-1) \frac{Tz}{(z-1)^2} [1 - G_m(z)] = \frac{1}{K_v}$$

$$(L' Hopital) \Rightarrow -T \left. \frac{dG_m}{dz} \right|_{z=1} = \frac{1}{K_v}$$

*Vratimo se ponovo na primjer 10.1.*

***Određivanje digitalnog regulatora neposredno u z-području (metoda 3):***

**1. korak** – odabir vremena uzorkovanja:

$$T = \frac{t_u}{4 \div 12} \xrightarrow{npr.} T = \frac{t_u}{5} = \frac{2s}{5} = 0,4s$$

**2. korak** – diskretizirati prijenosnu funkciju procesa  $G_s(s) \rightarrow G_s(z)$

$$G_s(z) = (1 - z^{-1})Z \left\{ \frac{G_s(s)}{s} \right\} = (1 - z^{-1})Z \left\{ \frac{5}{s^2(1 + 1,4s + s^2)} \right\}$$

$$\begin{aligned} G_s(z) &= \frac{0,05z^{-1} + 0,16z^{-2} + 0,03z^{-3}}{1 - 2,45z^{-1} + 2,02z^{-2} - 0,57z^{-3}} = \\ &= 0,05 \frac{z^{-1}(1 + 3,24z^{-1})(1 + 0,23z^{-1})}{(1 - z^{-1})(1 - 1,45z^{-1} + 0,57z^{-2})} \end{aligned}$$

**3. korak** – na osnovi  $G_s(z)$  i karakteristične jednačbe željenog zatvorenog kruga u kontinuiranom području odabrati modelsku prijenosnu funkciju  $G_m(z)$  – pronaći i uključiti ograničenja na  $G_m(z)$

- Karakteristična jednačba je diskretni ekvivalent kontinuirane karakteristične jednačbe (pole placement) – treći red prema Butterworthu

$$s^3 + 2\omega_n s^2 + 2\omega_n^2 s + \omega_n^3 = 0$$

$$s^3 + 3.8s^2 + 7.22s + 6.859 = 0$$

$$\begin{aligned} s_{p1} &= -1.9 & z_{p1} &= 0.47 \\ s_{p2,3} &= -0.95 \pm 1.65j \Rightarrow (z = e^{sT}) & z_{p2,3} &= 0.54 \pm 0.42j \end{aligned}$$

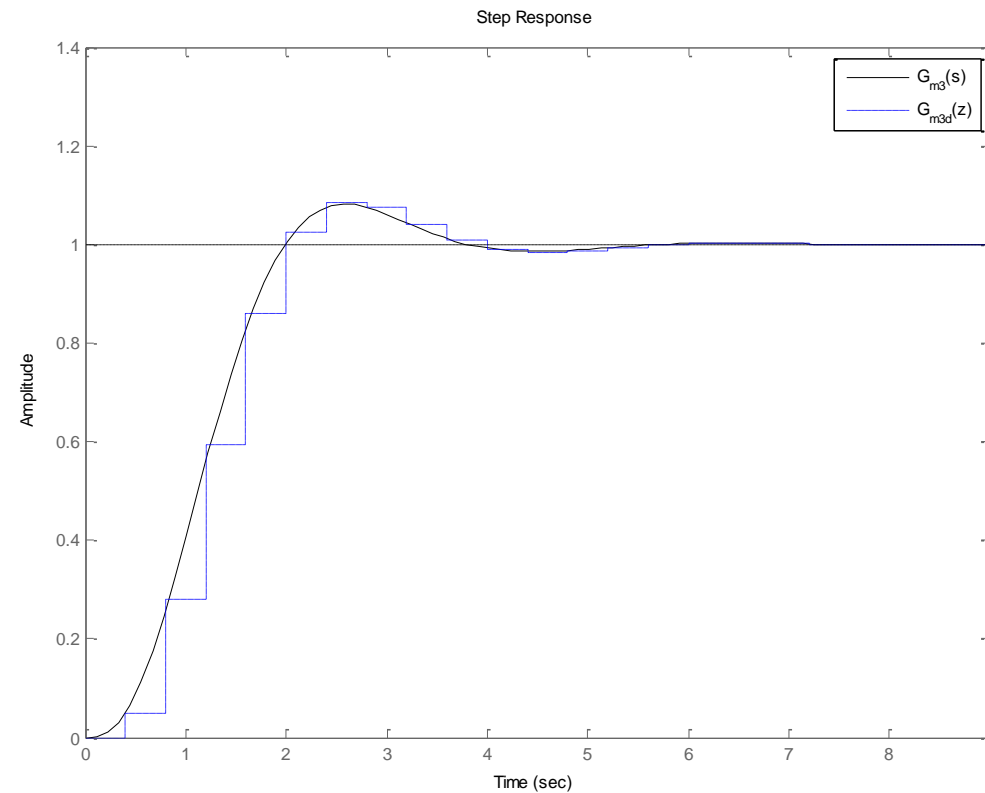
$$z^3 - 1.55z^2 + 0.9737z - 0.2187 = 0$$

- $G_s(z)$  ima 1-struku nulu u beskonačnosti
- $G_s(z)$  ima nestabilnu nulu ( **$1+3.24z^{-1}$** ), koja bi se preslikala u pol regulatora, pa da bi se to spriječilo i modelska funkcija treba imati tu nulu
- Stacionarna točnost - pojačanje  $G_m$  bude **1** za  **$z=1$**

$$G_{m3d}(z) = \frac{z^{-1}(1 + 3.24z^{-1})p_0}{1 - 1.55z^{-1} + 0.97z^{-2} - 0.22z^{-3}}$$

- Potrebno je odrediti  $p_0$  iz uvjeta za stacionarnu točnost

$$G_{m3d}(1) = 1 \Rightarrow p_0 = 0.48$$



Sl. 10.9. Usporedba diskretne modelske funkcije s kontinuiranom.

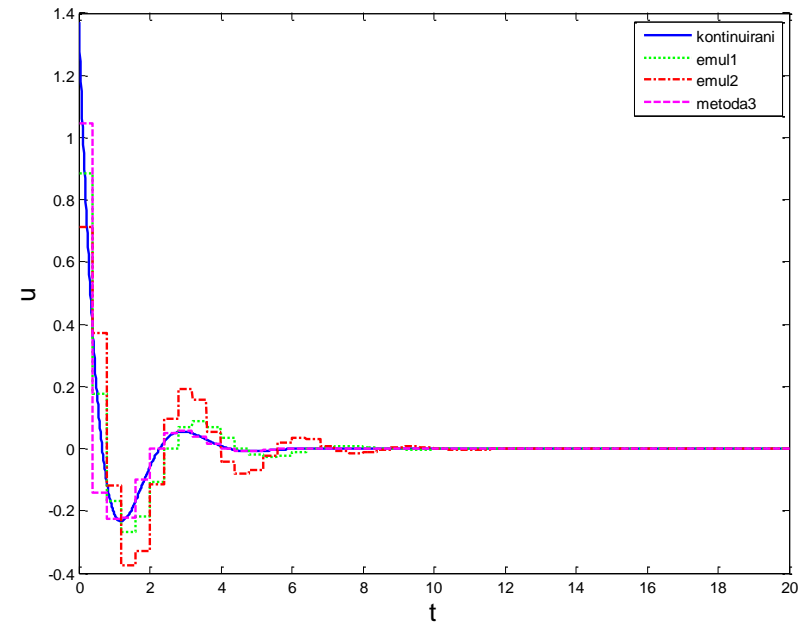
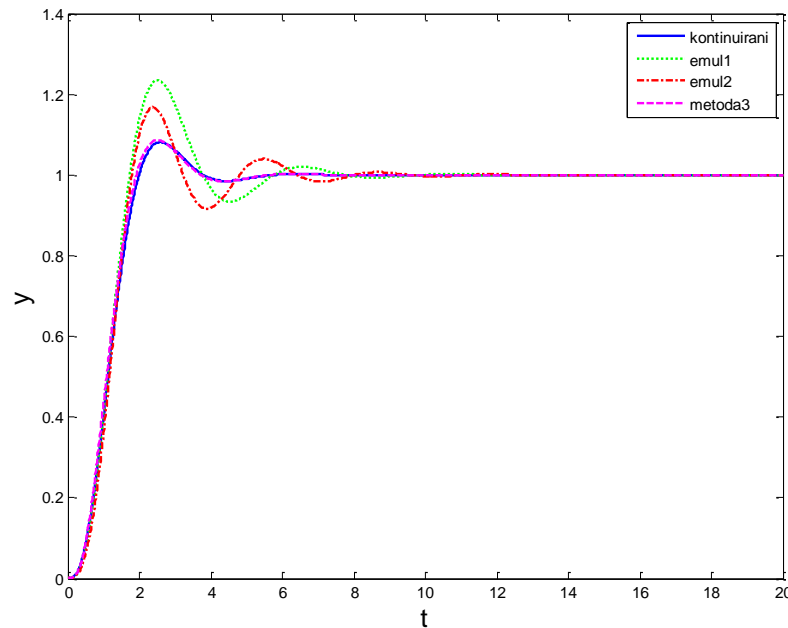
**4. korak** – Odrediti prijenosnu funkciju digitalnog regulatora  $G_R(z)$ , kako slijedi:

$$G_R(z) = \frac{1}{G_s(z)} \frac{G_{m3d}(z)}{1 - G_{m3d}(z)},$$

$$\begin{aligned} G_R(z) &= \frac{1,05 - 1,52z^{-1} + 0,598z^{-2}}{1 - 0,36z^{-1} + 0,08z^{-2} + 0,05z^{-3}} = \\ &= 1,05 \frac{(1 - 1,45z^{-1} + 0,57z^{-2})}{(1 + 0,23z^{-1})(1 - 0,6z^{-1} + 0,22z^{-2})} \end{aligned}$$



## Usporedba regulatora simulacijom sustava:



Sl. 10.10. Prijelazne funkcije zatvorenog regulacijskog kruga sa sva četiri projektirana regulatora u primjeru 10.1

- Nadvišenja prijelaznih funkcija: kontinuirani **8.15%**, EMUL1 **23.45%**, EMUL2 **16.77%**, metoda3 **8.63%**.

### Primjer 10.6.

Proces je opisan prijenosnom funkcijom

$$G_s(s) = \frac{1}{s(10s + 1)}$$

Projektirati diskretni regulator neposredno u diskretnom području tako da karakteristična jednadžba zatvorenog sustava upravljanja bude diskretni ekvivalent kontinuirane karakteristične jednadžbe

$$s^2 + s + 1 = 0$$

s vremenom uzorkovanja  $T=1$ . Sustav upravljanja mora biti stabilan, bez pogreške u stacionarnom stanju (odziv na step) i s kinetičkom pogreškom  $1/K_v=1$ .

Rješenje:

**1. korak** – vrijeme uzorkovanja je zadano

**2. korak** – diskretizirati prijenosnu funkciju procesa  $G_s(s) \rightarrow G_s(z)$

$$G_s(z) = (1 - z^{-1})Z \left\{ \frac{G_s(s)}{s} \right\} = 0.0484 \frac{z^{-1}(1 + 0.9672z^{-1})}{(1 - z^{-1})(1 - 0.9048z^{-1})}$$

**3. korak** – na osnovi  $G_s(z)$  i karakteristične jednačbe željenog zatvorenog kruga u kontinuiranom području odabrati modelsku prijenosnu funkciju  $G_m(z)$  – pronaći i uključiti ograničenja na  $G_m(z)$

- Karakteristična jednačba je diskretni ekvivalent kontinuirane karakteristične jednačbe (pole placement)

$$s_{p1,2} = -0.5 \pm 0.866j \Rightarrow (z = e^{sT})z_{p1,2} = 0.393 \pm 0.462j$$

$$z^2 - 0.7859z + 0.3679 = 0$$

- $G_s(z)$  ima 1-struku nulu u beskonačnosti
- $G_s(z)$  nema nestabilnu nulu
- Stacionarna točnost (na step i na rampu)

$$G_{md}(z) = \frac{z^{-1}(b_0 + b_1z^{-1} + b_2z^{-2} + \dots)}{1 - 0.7859z^{-1} + 0.3679z^{-2}}$$

- Iz dvije jednačbe za stacionarnu točnost moguće je odrediti samo dvije nepoznanice –  $b_0$  i  $b_1$  pa članove od  $b_2$  na dalje zanemarujemo

$$G_{md}(1) = 1 \Rightarrow$$

$$\frac{b_0 + b_1}{1 - 0.7859 + 0.3679} = 1 \Rightarrow$$

$$b_0 + b_1 = 0.582$$

$$-T \left. \frac{dG_{md}}{dz} \right|_{z \rightarrow 1} = \frac{1}{K_v} \Rightarrow - \left. \frac{dG_{md}}{dz} \right|_{z \rightarrow 1} = 1 \Rightarrow$$

$$- \frac{(-b_0 z^{-2} - 2b_1 z^{-3}) \Big|_{z=1} (\textit{nazivnik}(z=1)) - (0.7859 z^{-2} - 2 \cdot 0.3679 z^{-3}) \Big|_{z=1} (\textit{brojnik}(z=1))}{(\textit{nazivnik}(z=1))^2} = 1 \Rightarrow$$

$$b_0 + 2b_1 = 0.5318$$

$$b_0 = 0.6321$$

$$b_1 = -0.05013$$

$$G_{md}(z) = \frac{z^{-1}(0.6321 - 0.05013z^{-1})}{1 - 0.7859z^{-1} + 0.3679z^{-2}}$$

**4. korak** – Odrediti prijenosnu funkciju digitalnog regulatora  $G_R(z)$ , kako slijedi:

$$G_R(z) = \frac{1}{G_s(z)} \frac{G_{md}(z)}{1 - G_{md}(z)},$$

$$\begin{aligned} G_R(z) &= \frac{13,06 - 12,85z^{-1} + 0,9372z^{-2}}{1 + 0,5492z^{-1} - 0,4043z^{-2}} = \\ &= 13,06 \frac{(1 - 0,9z^{-1})(1 - 0,08z^{-1})}{(1 + 0,967z^{-1})(1 - 0,418z^{-1})} \end{aligned}$$

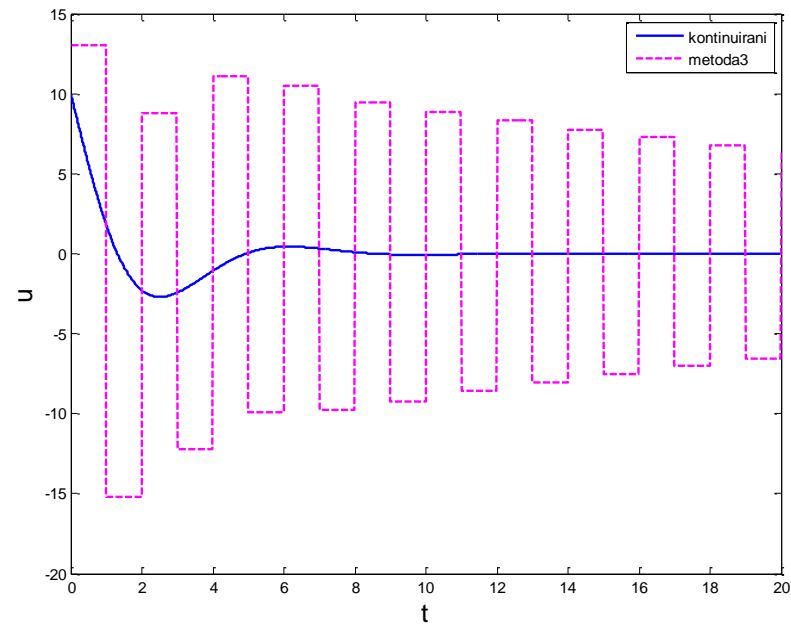
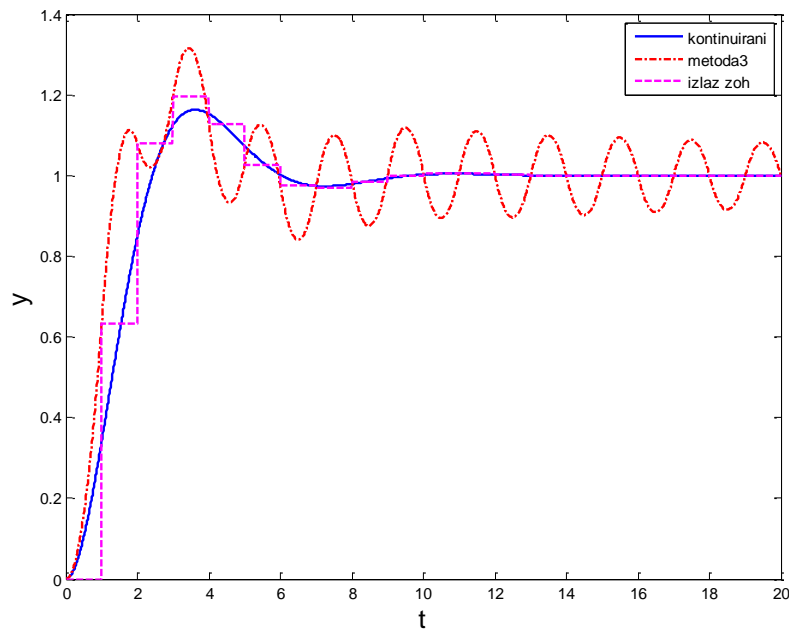
### Usporedba regulatora simulacijom sustava:

-kontinuirani sustav projektiran je za modelsku funkciju

$$G_m(s) = \frac{1}{s^2 + s + 1}$$

Dobiven je regulator

$$G_R(s) = \frac{10s + 1}{s + 1}$$



Sl. 10.11. Prijelazne funkcije zatvorenog regulacijskog kruga sa kontinuiranim i diskretnim regulatorom u primjeru 10.6

- Odziv izlaza iz procesa je oscilatoran, ali samo između trenutaka uzorkovanja.
- Odgovor ćemo naći u sljedećoj prijenosnoj funkciji

$$\frac{U(z)}{R(z)} = 13,06 \frac{(z-1)(1-0,9z^{-1})(1-0,08z^{-1})}{(1+0,967z^{-1})(1-0,79z^{-1}+0,37z^{-2})}$$

- Pol  $z=-0.967$  je vrlo blizu jedinične kružnice i prouzrokuje oscilacije upravljačke veličine. Ovaj pol se pokrati s nulom prijenosne funkcije i zato se na diskretnom odzivu izlazne veličine ne vide oscilacije. Ovako loš odziv može se izbjeći uključivanjem skoro nestabilne nule u modelsku prijenosnu funkciju.

$$G_{md2}(z) = \frac{z^{-1}(1+0.967z^{-1})(b_0+b_1z^{-1})}{1-0.7859z^{-1}+0,3679z^{-2}}$$

- Ponavljanjem postupka za statičku točnost dobiju se sljedeće dvije jednadžbe

$$G_{md2}(1) = 1 \Rightarrow$$

$$b_0 + b_1 = 0.2958$$

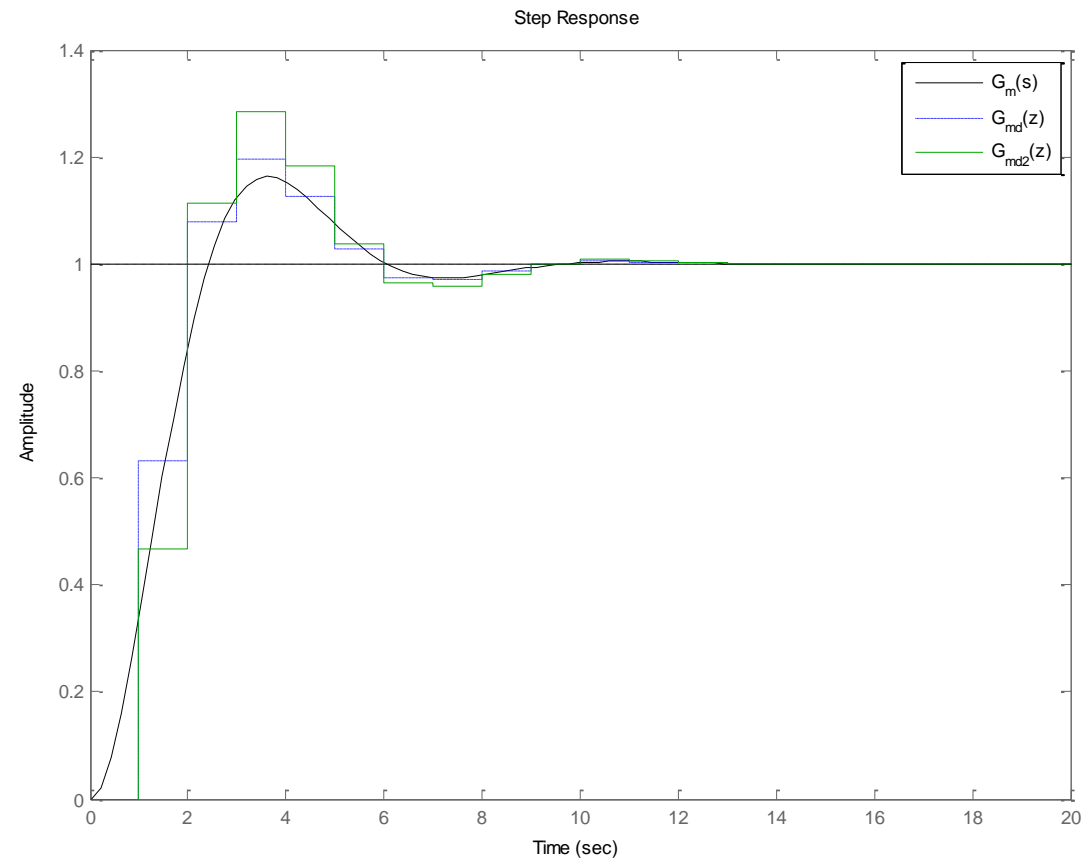
$$\left. -T \frac{dG_{md2}}{dz} \right|_{z \rightarrow 1} = \frac{1}{K_v} \Rightarrow \left. -\frac{dG_{md2}}{dz} \right|_{z \rightarrow 1} = 1 \Rightarrow$$

$$(1 + 2 \cdot 0.967)b_0 + (1 + 2 \cdot 0.967)b_1 = 0.5318$$

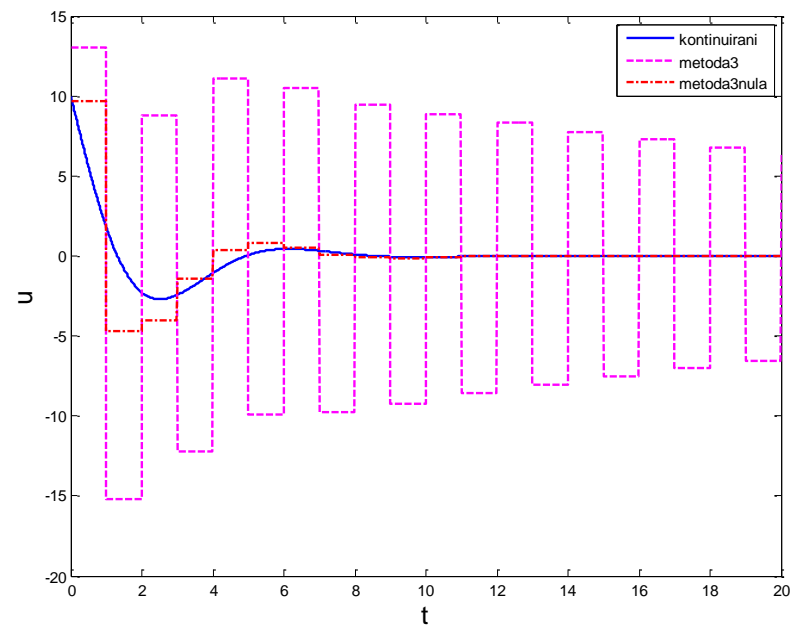
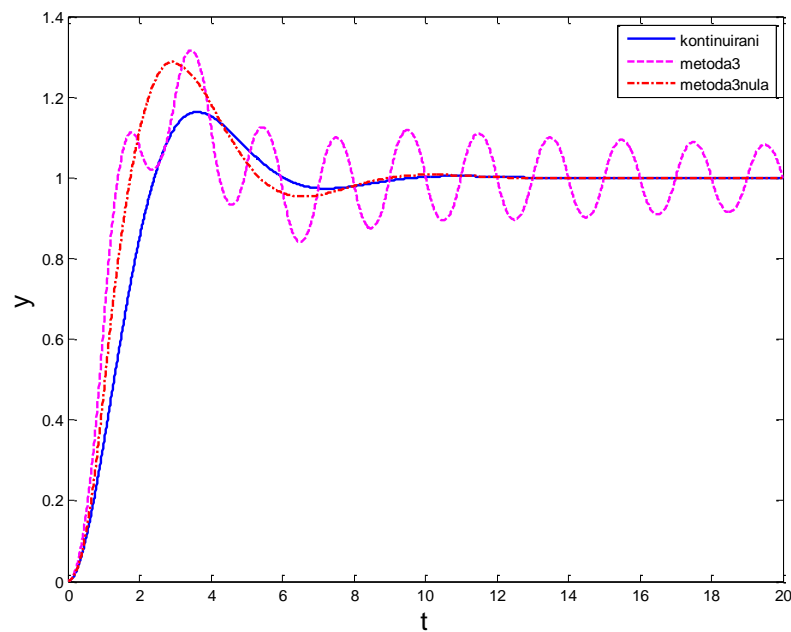
$$b_0 = 0.47$$

$$b_1 = -0.17$$





Sl. 10.12. Usporedba diskretnih modelskih funkcija s kontinuiranom.



Sl. 10.13. Prijelazne funkcije zatvorenog regulacijskog kruga sa kontinuiranim i diskretnim regulatorima u primjeru 10.6